

# 大地測量

下 冊

Б•П•叶尔莫洛夫 П•С•查卡托夫

М•Н•庫圖佐夫 М•М•穆拉文

Д•В•薩因科 Б•В•特罗伊茨基

等 著

測繪出版社

# 大地測量

## 下冊

Б.П.叶尔莫洛夫 П.С.查卡托夫  
М.Н.庫圖佐夫 М.М.穆拉文等著  
Д.Е.薩因科 Б.В.特羅伊茨基  
技术科学博士 П.С.查卡托夫教授总编  
楊罕王湘合譯  
梁再霖李國賢  
胡明城校

苏联内务部测繪总局教育处審定  
作为地形測量中等技术学校大地測量專業教学用書

В. П. Ермолов, П. С. Закатов, М. Н. Кутузов  
М. М. Муравкин, Л. В. Саенко, Б. В. Тронцкий  
ГЕОДЕЗИЯ

под общей редакцией профессора доктора  
технических наук П. С. Закатова  
Часть II

Отделом учебных заведений ГУГК МВД СССР утверждено в качестве  
учебного пособия для геодезической специальности  
топографических техникумов  
ГЕОДЕЗИЗДАТ  
МОСКВА 1954

本書系根据苏联測繪出版社1954年于莫斯科出版的Б.П.叶尔莫洛夫等著“大地測量”下卷译出。原書經苏联内务部測繪总局教育处审定作为地形測量中等技術学校大地測量專業教學用書。本書可供設有大地測量課程的其他學校之师生以及地形大地測量作業人以使用。

本書內容包括：導線測量，一、二等水准測量，高斯投影平面上直角坐标的应用及計算作業。

## 大地測量 下冊

---

著 者    E. П. 叶尔莫洛夫 等  
        П. С. 查卡托夫 等  
譯 者    楊罕、王湘等  
出 版 者    测繪出版社  
            北京宣武門外永光寺西街3号  
            北京市書刊出版局發行科字第081号  
發 行 者    新華書店  
印 刷 者    地質印刷厂  
            北京廣安門內教子胡同甲32号

---

編輯：朱長盛 技術諮詢：李望如 校对：白淑鈞  
印数(京)15200册                    1956年12月北京第1版  
开本31"×43" / 25                1956年12月第1次印刷  
字数300,000千                    印张14" / 25 插页2  
定价(10)2.00元

# 目 錄

<b>第十七章 導線測量 .....</b>	<b>7</b>
§ 172. 導線測量的實質及其應用的條件.....	7
§ 173. 導線測量的種類和分等.....	8
<b>直接量邊的導線測量</b>	
§ 174. 導線和導線網的設計.....	9
§ 175. 角度和長度測量誤差的影響.....	10
§ 176. 角度和長度測量誤差的影響（續）.....	16
§ 177. 減弱角度誤差影響的方法.....	22
§ 178. 拟定內業計劃。踏勘.....	24
§ 179. 導線起標和中心標石.....	26
§ 180. 長度測量。歸算.....	28
§ 181. 導線測量中角度觀測的特點.....	38
§ 182. 導線與大地控制點的連接.....	38
<b>視差導線測量</b>	
§ 183. 視差法的實質。視差環節的結構.....	41
§ 184. 視差環節的長度計算.....	45
<b>第十八章 測量交會法 .....</b>	<b>50</b>
§ 185. 測量交會法的實質.....	50
§ 186. 变形交會法.....	51
<b>第十九章 一、二等水準測量 .....</b>	<b>56</b>
§ 187. 一、二等水準測量總論.....	56
§ 188. 水準儀.....	58
§ 189. 附有平行玻璃板的高精度水準儀的檢驗與檢查.....	64
§ 190. 水準標尺.....	75
§ 191. 水準標尺的檢驗.....	77
§ 192. 水準路線的計劃和勘選.....	85
§ 193. 水準點的表示.....	84

§ 194. 二等水准测量的方法.....	88
§ 195. 二等水准测量的误差来源.....	94
<b>第二十章 高斯投影平面上的直角坐标 .....</b>	<b>96</b>
§ 196. 地球表面形状的概述.....	96
§ 197. 地球椭圆体的主轴和主面.....	96
§ 198. 坐标系统.....	99
§ 199. 一点对于子午线椭圆轴的直角坐标.....	100
§ 200. 曲率半径.....	103
§ 201. 子午圈和平行圈弧长.....	105
§ 202. 相对法截线。大地线.....	108
§ 203. 按洛戎德定理解算球面三角形.....	110
§ 204. 椭圆体上大地问题的解算.....	113
§ 205. 正解大地问题。反解大地问题的公式.....	114
§ 206. 高斯坐标的概论.....	124
§ 207. 高斯正形投影.....	125
§ 208. 三角网展绘到高斯投影平面上.....	128
§ 209. 大地坐标与椭圆面直角坐标间的关系.....	131
§ 210. 由椭圆面坐标换算成平面坐标.....	133
§ 211. 投影长度比.....	136
§ 212. 高斯投影的正形条件.....	139
§ 213. 由大地坐标换算为高斯坐标.....	141
§ 214. 按高斯坐标计算大地坐标的公式(反解问题).....	143
§ 215. 椭圆体法截线在平面上的投影象.....	146
§ 216. 方向改正.....	147
§ 217. 高斯子午线收敛角.....	152
§ 218. 距离改正.....	155
§ 219. 三角网化算到高斯投影平面上的示例.....	158
§ 220. 苏联大地测量工作中高斯坐标系的应用.....	163
§ 221. 高斯坐标由一个投影带换算到另一个投影带.....	165

## 計算工作

<b>第二十一章 近似值的計算</b>	168
§ 222. 大地測量計算概論	168
§ 223. 數值的絕對誤差和相對誤差	170
§ 224. 計算結果的誤差。位數計算	172
§ 225. 墓整	177
§ 226. 大地測量計算	178
<b>第二十二章 三角測量概算</b>	183
§ 227. 概算的內容	183
§ 228. 角度觀測結果綜合表的編制。用全周方向觀測法所得的水平方 向觀測成果綜合表	184
§ 229. 用全組合測角法所得的水平角觀測結果綜合表	190
§ 230. 天頂距觀測結果綜合表	202
§ 231. 三角形的概算	203
§ 232. 球面角超的計算	206
§ 233. 測站点归心和照准点归心改正数的計算	207
§ 234. 归心后的方向值表的編制	209
§ 235. 三角形閉合差的計算和觀測角精度的估計	210
<b>第二十三章 三角測量的平差計算</b>	213
§ 236. 三角測量平差概論	213
§ 237. 三角网的种类。几何条件	217
§ 238. 圖形条件	217
§ 239. 圓周角条件	221
§ 240. 測站条件	224
§ 241. 極条件或边条件	226
§ 242. 基线条件	228
§ 243. 坐标方位角(或方位角)条件	237
§ 244. 固定边条件	240
§ 245. 固定角条件	242
§ 246. 坐标条件	244

§ 247. 自由网中独立条件方程式的选... 择	245
§ 248. 用图解法和解析法确定条件方程式的个数	248
§ 249. 非自由网中条件方程式的选... 择	253
§ 250. 有闭合起算边的三角网中条件方程式的选... 择	255
§ 251. 三角网按最小二乘法平差。最小二乘法的主要特点	256
§ 252. 解条件方程式	261
§ 253. 非等精度的角度之平差	267
§ 254. 非等精度观测条件方程式的解算	273
§ 255. 法方程式的组成	276
§ 256. 组成法方程式的检算	281
§ 257. 法方程式的解算	283
§ 258. 解法方程式的检算	286
§ 259. 法方程式的解算格式	288
§ 260. 改正数计算	295
§ 261. 角度观测结果的精度估计	297
§ 262. 条件方程式常数项的容许值的确定	299
§ 263. 三角测量平差元素精度的估计	302
§ 264. 各等三角测量的平差程序	311
§ 265. 自由三角网按方向平差示例	313
§ 266. 三角测量两组平差法	322
§ 267. 平面上三角点坐标的计算	333
§ 268. 以间接测距法平差三角网	334
§ 269. 法方程式的组成与解算。精度估计	338
§ 270. 用间接观测法平差多次后方交会示例	341
§ 271. 高程平差和三角高程测量的精度估计	348
§ 272. 以逐漸趋近法作高程平差	355
参考文献	359

## 第十七章 導線測量

### § 172. 導線測量的實質及其應用的條件

除了三角測量（建立平面大地控制網的主要方法），導線測量也被廣泛地應用。這一種建立平面大地控制網的方法，就是敷設一條或多條導線，然後測量所有的轉折角和綫長。構成結點的交叉導線系，稱為導線網。導線測量的用途不同於一般的經緯儀導線，且測量綫長與角度的精度也較高，因此，它所使用的測量儀器和方法也與一般經緯儀導線不同。

在平原森林地區（這類地區佔着蘇聯很大一部分領土），三角測量的費用比同精度的導線測量要大得多。這是在每個三角點上，通常都要通視四個或四個以上方向，在平原森林地區，這就需要建造很高的觇標，以保證各點之間互通視。如果利用導線通過與三角鎖長度相等的距離傳算坐標，則所需要的點數可減少一半，而且各點的平均高度顯著降低，因為點的高度只要保證兩個方向上點的互通視。

在導線測量中，根據地形條件，構成轉折角的相鄰兩邊的長度可以相差很大（例如25和6公里），但在三角測量中，如果相鄰邊的長度相差太大，就會使三角形具有不可容許的形狀。由於導線測量具有這種優點，因此，當沿着大路、寬的河流、林間小路以及在其他開闊地區內敷設導線時，它能最好地適應於地形，以不高的觇標達到互通視。

在導線測量中，每一邊都是獨立地求得的，與其他的邊不發生關係，而在三角鎖中，每一邊都是取決於基線的測量精度，該邊距離基

綫的远近，三角形中各角的測量精度，以及三角形的形狀。在導綫測量中，兩相鄰點間距離測定的精度，主要是取决于这条直綫直接丈量的結果；其誤差与綫長成比例。導綫測量的缺点是丈量綫長的作業量很大。

利用導綫測量建立大控制网的方法，很久以前就在俄國的地形測量工作中被采用了。早在十九世紀上半期，俄國大地測量学家斯特魯維在測量黑海和里海間的高差（用三角高程測量）的工作中，就采用了導綫測量距离的方法。苏联学者 B. B. 达尼洛夫，A. C. 契巴塔廖夫，B. B. 波波夫，A. C. 費洛寧科，A. C. 尤爾克維奇，A. И. 杜爾涅夫等等，对各种導綫測量法的理論問題，測量方法和測量結果的整理，曾經作了研究，而且苏联的大地測量工作者在全国各种自然地理条件的地区敷設了導綫网，这对研究和改善導綫測量的仪器和方法起了促進的作用。

### § 173. 導綫測量的种类和分等

正如§172中所述，用導綫測量法擴展大地控制网，就是在实地測量導綫所有的边和轉折角。当測区的地形、樹林或沼澤妨碍我們進行精密的長度測量时，则可不必直接測量導綫各边的長度，而只測量与待定边成垂直的短基綫，并測量此时所構成的几何圖形的各頂角。这样，从所構成的該几何圖形（圖366），就可依計算求出边的長度。導綫測量法的这种变形称为視差導綫測量（其特点在于短基綫所对的視差角很小）。

根据以上所述，按測量边的方法，可分为直接量邊的導綫測量和視差導綫測量。为了最大限度地利用地形的特点，以达到敷設具有必要精度的并在經濟方面最有利的導綫起見，上述两种導綫測量可以綜合应用。

導綫网在有些情况下可代替三角网，而在另一些情况下还可敷設成加密网，这种加密网是依附在高等三角点上，把控制点的数量增加到

下一步地形测量工作所要求的密度。另外，導綫測量与三角測量的綜合应用也正在試行中。

在任何情况下，最好都从導綫点用前方交会法來測定導綫兩旁的補点，这样就可以擴大該導綫控制的面積。

導綫測量的精度和分等，是以互相代替的原則与三角測量的精度和分等相联系的，即一等導綫測定控制点的精度，等于一等三角測量所能达到的精度，二等導綫測定控制点的精度，等于二等三角測量所能达到的精度，余此类推。

城市導綫測量和工程導綫測量都与建立國家控制网的導綫測量不同，城市導綫測量是加密城市和城市型居民地的三角网，以進行城市測圖，工程導綫測量敷設在建筑場地和工程設施的建造基地，作为地形測圖控制和实施各种定綫工作。

## 直接量邊的導綫測量

### S 174. 導綫和導綫网的設計

設計導綫时，必須解决下列問題：

(1)導綫長度 如 §172 中所述，因为導綫可以代替相应等級的三角鎖和三角网，所以導綫和導綫网应当有一定的長度。在其他条件都相同时，導綫越長，測量誤差对導綫的元素，即对边長、边的坐标方位角和点的坐标的影响就越大。所以，考慮到導綫中边長和角度測量誤差積累的特点，以及減弱这些誤差的影响的必要性，導綫長度在实际上是有一定限制的；对于一定等級的導綫測量，規定有導綫的最大長度。如果單導綫（如圖 340，在三角点 A 和 B 之間）的長度超过了最大容許限度，那么在这种情况下，就应設法在導綫的某一中間頂点 D 上構成一个結点，使該導綫与相鄰導綫相交。这时，結点的位

置不僅可以根据固定點  $A$  和  $B$  來確定，而且可以根據固定點  $C$  來確定，所以，結點的位置比  $AB$  導線上其餘各頂點的位置精確。這樣，我們就可以利用  $C$  點作為控制點，來分段進行  $AB$  導線的平差，從而縮短了測量誤差積累的綫段的長度。

(2) **邊長** 當導線長度為一定時，導線轉折點的個數（從而轉折點測量誤差的積累）就取決於導線的邊長。因為地面的各



圖 340. 結 点

種障礙物通常限制了適於精確測量的直線的長度，所以對於一定等級的導線測量，通常都規定了邊的平均長度。在平均邊長為數百公尺的低等導線中，還要規定邊的最小長度，以避免使用過短的邊，因為邊太短了，在測量轉折角中，由平均長度的邊轉到短邊時，勢必要改變望遠鏡的對光（這樣會增大測角誤差）。

(3) **導線的形狀** 導線應尽可能地成直線延伸，使曲折度為最小。這種形狀的導線，除了可以使控制該測區的導線長度縮短到最低限度，從而節省勞動力和費用以及減少誤差的積累以外，導線伸直的價值，還在於能夠可靠地檢驗直線丈量和角度觀測，並大大簡化導線的平差。

在擴展導線和導線網時，要達到上述的條件，必須選擇便於敷設這種導線以及有利於進行精密長度測量的路線，這類路線通常是各種道路、林間小路和緩傾斜的河岸。

### ○ § 175. 角度和長度測量誤差的影響<sup>①</sup>

**導線的方位誤差** 假定在高等三角點  $A$  和  $B$  之間（圖 341）敷設一條直伸導線  $AP_1 P_2 \dots B$ 。在實地上測定的所有角度和邊長都投影到高斯坐標系的平面上<sup>②</sup>。在該導線中，測量了角度  $\beta_1, \beta_2, \beta_3, \dots, \beta_{n+1}$  和綫

① § 175 和 § 176 系根據 A. C. 裴巴塔爾夫著“測量學”第二冊編寫的。

② 高斯坐標系參看第二十章。

段 $s_1, s_2, s_3, \dots, s_n$ 。固定点A和B的坐标 $\alpha_A$ 和 $\alpha_B$ 以及固定边的坐标方位角 $\alpha_H$ 和 $\alpha_B$ 都为已知。观测角之和的误差可用本书记上册中的公式(30)计算出来：

$$f_\beta = \sum_{i=1}^{n+1} (\beta_i - (\alpha_B - \alpha_H)) - (n+1) \cdot 180^\circ. \quad (276)$$

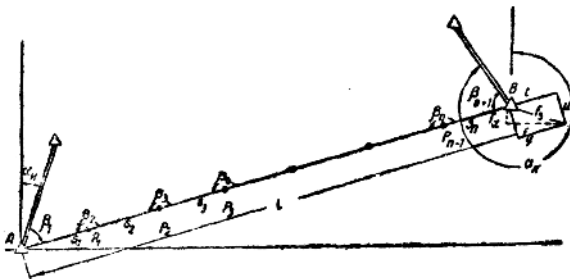


圖 341. 固定点与固定坐标方位角之間的直伸導線

根据誤差理論中的公式(91)（見本書上冊§90），觀測角之和的中誤差 $m_{\Sigma\beta}$ 的平方，等于角 $\beta_1, \beta_2, \beta_3, \dots$ 的中誤差的平方之和，即：

$$m_{\Sigma\beta}^2 = m_{\beta_1}^2 + m_{\beta_2}^2 + m_{\beta_3}^2 + \dots + m_{\beta_{n+1}}^2 = \sum_{i=1}^{n+1} m_{\beta_i}^2.$$

假定各角測定的精度相同，即得 $m_{\Sigma\beta}^2 = m_{\beta}^2 (n+1)$ ，由此：

$$m_{\Sigma\beta} = m_{\beta} \sqrt{n+1}. \quad (277)$$

假設起始坐标方位角的誤差为 $m_{\alpha_H}$ 和 $m_{\alpha_B}$ ，則求得導線方位的中誤差如下：

$$m_{\alpha}^2 = m_{\beta}^2 (n+1) + m_{\alpha_H}^2 + m_{\alpha_B}^2.$$

假定每一起始边的坐标方位角誤差与導線的角度觀測誤差相等（在实践中常常这样作），也就是說，設

$$m_{\alpha_H} = m_{\alpha_B} = m_{\beta},$$

那末

$$m_{\alpha}^2 = m_{\beta}^2 (n+3),$$

由此得出：

$$m_{\alpha} = m_{\beta} \sqrt{n+3}. \quad (278)$$

因此，導線的方位誤差取決于轉折角的觀測精度和起始坐标方位角的精度，并与角度个数的平方根成比例。

導線的縱向誤差和橫向誤差 所敷設的導線頂點位置的誤差，視坐标增量的閉合差而定，其式子如下：

$$\left. \begin{aligned} f_x &= \sum \Delta x - (X_B - X_A) \\ f_y &= \sum \Delta y - (Y_B - Y_A) \end{aligned} \right\}. \quad (279)$$

由下式求出的數值，稱為導線的長度閉合差 $f_s$ ：

$$f_s = \pm \sqrt{f_x^2 + f_y^2}. \quad (280)$$

導線的長度閉合差可分解為兩個組成部分：一部分是與導線方向平行，稱為縱向閉合差，用 $t$ 表示；另一部分是與導線方向垂直，稱為橫向閉合差（參看圖 341）。很顯然，直伸導線中縱向閉合差主要是由於長度測量誤差的積累而產生的，而橫向閉合差是由於角度觀測誤差的影響所致。只有在直伸導線中，才能這樣容易地分別找出長度測量誤差和角度觀測誤差的影響。

如果導線伸得很直，則兩起始點之間的距離 $L$ 與這兩點間敷設的導線各邊長度之和相差很小，也就是說：

$$L = S_1 + S_2 + S_3 + \cdots + S_n = [S].$$

根據誤差理論中的公式(91)：

$$m_L = \pm \sqrt{m_{s_1}^2 + m_{s_2}^2 + m_{s_3}^2 + \cdots + m_{s_n}^2} = \pm \sqrt{[m_s^2]}.$$

假定在長度測量中只是偶然誤差發生作用。如用  $\mu$  表示單位長度測量的偶然誤差，則長度為  $S$  的綫段即為：

$$m_s = \mu \sqrt{S},$$

而整個導線各綫段的測量誤差可用下式表示：

$$m_L = \mu \sqrt{[S]}. \quad (281)$$

如果在長度測量中只是系統誤差發生作用，大家都知道，系統誤差影響的大小是與綫段長度成正比的，因此，用  $\lambda$  表示導線單位長度測量的系統誤差，就可以得出整個導線各綫段測量誤差的式子：

$$\lambda[S] = \lambda L,$$

實際上，在長度測量中，偶然誤差和系統誤差是同時發生作用的，因此，在詳細的測量學教科書中證明：

$$m_L^2 = \mu^2 \cdot L + \lambda^2 \cdot L^2. \quad (282)$$

現在我們來找出直伸導線的橫向閉合差與角度觀測誤差的關係。假定我們在觀測第一個角度時，產生了很小的誤差  $d\beta_1$ （圖 342），而其餘的角度和邊長都測量得正確，於是導線的終點就將垂直於導線方向而略微產生位移，位移的數值為  $\Delta u_1$ 。如果導線伸得很直，因而可以認為：

$$L = (s_1 + s_2 + s_3 + \cdots + s_n),$$

於是：

$$\Delta u = (s_1 + s_2 + s_3 + \cdots + s_n) \frac{d\beta''}{\rho'}. \quad (a)$$

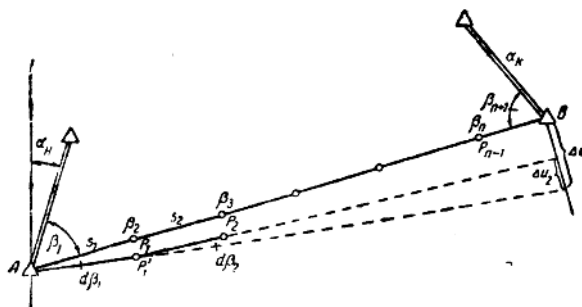


圖 342. 轉折角測量誤差對導線橫向閉合差的影響

不難理解，導線每個轉折角的測量誤差，將會引起終點的橫向位移，其位移數值可以類似（a）式約式子來求得，但在該式中應考慮到接着往后的每一點到導線終點的距離逐漸縮短。式子如下：

$$\Delta u_1 = (S_1 + S_2 + S_3 + \dots + S_n) \frac{d\beta_1''}{\rho''},$$

$$\Delta u_2 = (-S_2 + S_3 + \dots + S_n) \frac{d\beta_2''}{\rho''},$$

$$\Delta u_3 = (-S_3 + \dots + S_n) \frac{d\beta_3''}{\rho''},$$

$$\Delta u_n = (-S_n) \frac{d\beta_n''}{\rho''}.$$

導線的橫向閉合差  $u$  將等於導線終點各個位移數值之和，即：

$$u = \Delta u_1 + \Delta u_2 + \Delta u_3 + \dots + \Delta u_n$$

和

$$u = (S_1 + S_2 + S_3 + \dots + S_n) \frac{d\beta_1''}{\rho''} + (S_2 + S_3 + \dots + S_n) \frac{d\beta_2''}{\rho''} + \\ + (S_3 + \dots + S_n) \frac{d\beta_3''}{\rho''} + \dots + S_n \frac{d\beta_n''}{\rho''}.$$

為了簡化公式的推導起見，假定導線各綫段的長度彼此相等，則：

$$u = s n \frac{d\beta_1''}{\rho''} + s(n-1) \frac{d\beta_2''}{\rho''} + s(n-2) \frac{d\beta_3''}{\rho''} + \cdots + s \frac{d\beta_n''}{\rho''}. \quad (6)$$

我們把誤差理論中和函數中誤差公式（91）應用於式子（6），此外，並假設所有角度的觀測誤差相同，等於  $m_\beta$ ，於是：

$$m_u^2 = s^2 n^2 \frac{m_\beta^2}{\rho^2} + s^2 (n-1)^2 \frac{m_\beta^2}{\rho^2} + s^2 (n-2)^2 \frac{m_\beta^2}{\rho^2} + \cdots + s^2 \frac{m_\beta^2}{\rho^2}.$$

和

$$m_u^2 = s^2 \frac{m_\beta^2}{\rho^2} [n^2 + (n-1)^2 + (n-2)^2 + \cdots + 1^2].$$

但大家都知道：

$$1^2 + 2^2 + 3^2 + \cdots + n^2 = \frac{n(n+1)(2n+1)}{6},$$

所以

$$m_u^2 = s^2 \frac{m_\beta^2}{\rho^2} \cdot \frac{n(n+1)(2n+1)}{6}. \quad (8)$$

因為在直伸導線中  $s=L$ ，所以等式（8）的右方用  $n$  乘除，即得：

$$m_u^2 = \frac{m_\beta^2}{\rho^2} \cdot \frac{s^2 n^2}{n} \left( \frac{(n+1)(2n+1)}{6} \right)$$

和

$$m_u = \frac{m_\beta}{\rho} \cdot L \sqrt{\frac{(n+1)(2n+1)}{6}}. \quad (9)$$

將式子（9）改變和略加化簡後，即得下式：

$$m_u = L \frac{m_\beta}{\rho} \sqrt{\frac{n+1.5}{3}}, \quad (283)$$

和

$$\frac{m}{L} = \frac{m_\beta}{\rho} \sqrt{\frac{n+1.5}{3}}. \quad (284)$$

現在如把(282), (283)兩公式合併起來, 則得出導線絕對長度閉合差的平均數值  $M$  為:

$$M^2 = m_L^2 + m_u^2 = \mu^2 L + \lambda^2 L^2 + L^2 \frac{m''^2 \beta^2}{\rho''^2} + \frac{n+1.5}{3}. \quad (285)$$

而導線的相對誤差將等於:

$$\left(\frac{M}{L}\right)^2 = \frac{\mu^2}{L} + \frac{m''^2 \beta^2}{\rho''^2} \left(\frac{n+1.5}{3}\right). \quad (286)$$

從公式(286)中可以看出, 導線的精度是取決於長度測量的系統誤差和偶然誤差, 是取決於角度測量的精度和轉折角的個數。其中長度測量系統誤差的影響最大, 因為這個誤差全部都包含在導線的誤差中。長度測量偶然誤差的影響與導線的長度成反比。至於轉折角的個數, 在該導線中轉折角個數越少, 則在該工作條件下所能達到的精度就越高。

## § 176. 角度和長度測量誤差的影響(續)

導線測量的最終目的, 是求得導線上各點的坐標。這些坐標的精度, 完全取決於導線各邊的坐標增量的精度, 而增量的精度又視角度和邊長測量的精度而定。

為了查明角度和邊長測量誤差對於傳算坐標和確定導線總誤差的影響的性質, 我們來研究一下自由導線(即是只依附在一個固定起始點和一個固定坐標方位角上的導線)。假定這條導線是由固定點  $A$  ( $X_A, Y_A$ ) 和固定坐標方位角  $\alpha_A$ (圖 343)開始放設。那末: